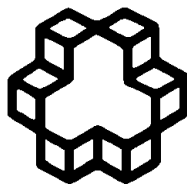


بِسْمِ اللّٰهِ الرَّحْمٰنِ الرَّحِيْمِ



۱۳۰۷

دانشکده صنعتی خواجه نصیرالدین طوسی

دانشکده مهندسی برق و کامپیووتر

گروه مخابرات

رساله دکترا

# بررسی رفتار امواج الکترومغناطیسی در گوههای پلاسمونی با استفاده از معادلات انگشتراوی

استاد راهنما

دکتر محمد صادق ابریشمیان

نگارش

مجید رسولی دیسفانی

اسفند ۱۳۹۰

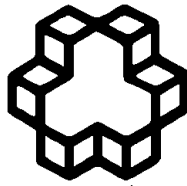
تقدیم به:

## پدر و مادر عزیزم

که در درس زندگی و محبت را به من آموخته‌اند.

## همسر عزیزم

که همراهی او امید دهنده و راهگشای لحظات زندگیم بوده  
است.



آیین

## دانگاه صنعتی خواجه نصیرالدین طوسی

دانشکده مهندسی برق و کامپیووتر

### تاییدیه هیئت داوران

هیئت داوران پس از مطالعه پایان نامه و شرکت در جلسه دفاع از پایان نام ة تهیه شده تحت عنوان «بررسی امواج الکترومغناطیسی در گوه‌های پلاسمونی با استفاده از معادلات انتگرالی» توسط آقای مجید رسولی دیسفانی، صحت و کفايت تحقیق انجام شده را برای اخذ درجه دکتری در رشته مهندسی برق گرایش مخابرات با رتبه عالی مورد تائید قرار می‌دهند.

امضاء	سمت	هیات داوران
	استاد راهنمای	دکتر ابریشمیان
	استاد داور داخلی	دکتر میر طاهری
	استاد داور داخلی	دکتر گرانپایه
	استاد داور خارجی	دکتر راشد محصل
	استاد داور خارجی	دکتر مروج فرشی
	نماینده تحصیلات تکمیلی دانشگاه	دکتر نکویی

## اطهار نامه دانشجو

اینجانب مجید رسولی دیسفانی دانشجوی دوره دکتری مهندسی برق گرایش مخابرات دانشکده  
مهندسی برق و کامپیوتر دانشگاه صنعتی خواجه نصیرالدین طوسی گواهی می نمایم که تحقیقات  
ارائه شده در این رساله با عنوان بررسی رفتار امواج الکترومغناطیسی در گوههای پلاسمونی  
با استفاده از معادلات انتگرالی با راهنمایی جناب آقای دکتر محمد صدق ابریشمیان، توسط  
شخص اینجانب انجام شده و صحت و اصالت مطالب نگارش شده مورد تائید می باشد  
و در موارد استفاده از کار دیگر محققان به مرجع موردنظر استفاده اشاره شده است. به علاوه گواهی  
می نمایم که مطالب مندرج در پایان نامه تا کنون برای دریافت هیچ نوع مدرک یا امتیازی توسط  
اینجانب یا فرد دیگری در هیچ جا ارائه نشده و در تدوین متن پایان نامه چارچوب مصوب دانشگاه  
را به طور کامل رعایت کرده‌ام.

امضاء دانشجو:

تاریخ:

## حق طبع و نشر و مالکیت نتایج

1- حق چاپ و تکثیر این پایان نامه متعلق به نویسنده آن می باشد. هرگونه نسخه برداری از کل پایان نامه یا بخشی از آن تنها با موافقت نویسنده یا کتابخانه دانشکده برق دانشگاه صنعتی خواجه نصیرالدین طوسی مجاز می باشد.

ضمناً متن این صفحه نیز باید در نسخه تکثیر شده وجود داشته باشد.

2- کلیه حقوق معنوی این اثر متعلق به دانشگاه صنعتی خواجه نصیرالدین طوسی می باشد و بدون اجازه کتبی دانشگاه به شخص ثالث قابل واگذاری نیست. همچنین استفاده از اطلاعات و نتایج موجود در پایان نامه بدون ذکر مرجع مجاز نمی باشد.

## تقدیر و تشکر

ستایش خدای راست که پیوند دهنده ستایش به نعمت است و نعمت به ستایش. او را بر نعمتهایش می‌ستاییم چنانکه بر بلایش، و از او بر نفس خود مدد خواهیم که در آنچه باید کاهل است و بر آنچه نباید عاجل، و خواهان بخشش او هستیم در آنچه علمش آن را در برگرفته و در کتابش بر شمرده. گواهی می‌دهیم که پرستش شوندهای جز خدای ما نیست، یکی است بی‌شريك، و محمد بنده اوست و پیامبرش، که درود خدا بر او و خاندان پاکش باد.<sup>۱</sup>

از زحمات دلسوزانه جناب آقای دکتر محمد صادق ابریشمیان که دانشمندانه و با سعه صدر در انجام این رساله صمیمانه مرا راهنمایی کردند، کمال تشکر و قدردانی را دارم. همچنین از پروفسور Pierre Berini از دانشگاه اتاوا کانادا که از ابتدای پروژه به عنوان مشاور این رساله دکتری با همکری و راهنمایی‌های خود و فراهم آوردن امکان استفاده از مرکز تحقیقاتی HPCVL واقع در کشور کانادا در انجام این رساله مرا یاری فرمودند، سپاسگزاری می‌کنم.

همچنین سپاسگزار پدر و مادر همسرم هستم که می‌دانم نبوده است جز به دعای خیر ایشان، از ابتدای زندگی.

و سپاسگذار تمام دوستانی هستم که به هر گونه مرا یاری نمودند.

## چکیده

از خصوصیات مهم ساختارهای پلاسمونی متتمرکز کردن نور در ناحیه‌ای بسیار کوچک‌تر از ابعاد طول موج است که موجب شده است تا ساختارهای پلاسمونی به عنوان جایگزینی برای فناوری میکروالکترونیک و فائق آمدن بر محدودیت‌های سرعت و ابعاد مطرح شوند. از پارامترهای مهم در تمرکز پلاسمون‌های سطحی تاثیر لبه‌ها و گوشه‌ها در این ساختارهایست که نقش به سزایی در شکل‌گیری مدها و پراکندگی امواج الکترومغناطیسی دارند. با نزدیک شدن به ساختارهای نوک تیز، رفتار تکین در میدان‌های الکترومغناطیسی دیده می‌شود که برای دستیابی به افزونگی بسیار بالای میدان‌های الکترومغناطیسی و کاربردهای گوناگونی نظیر بیو حسگرها، زوناتورها و لیزرها مورد توجه قرار گرفته‌اند. با این وجود تحقیقات در این زمینه تا به حال محدود به خصوصیات مدل گوههای پلاسمونی بوده و در مورد رفتار میدان‌های الکترومغناطیسی در نزدیکی لبه‌های نوک تیز پلاسمونی مطالعه جامعی صورت نگرفته است. در حالی که شناخت دقیق از آن، راه را برای تحقق بیو حسگرها بسیار حساس، نانوزوناتورها با ضریب کیفیت بسیار بالا و ساختارهایی با قابلیت تمرکز بالای انرژی در ابعاد نانومتری فراهم می‌آورد.

در این رساله از روش معادلات انتگرالی فوق تکین برای بررسی چگونگی رفتار مولفه‌های مماسی میدان‌های الکترومغناطیسی در گوههای پلاسمونی استفاده شده است و تاثیر پارامترهایی نظیر طول موج میدان تابشی، زاویه Meixner گوه و زاویه تابش مورد مطالعه قرار گرفته است. همچنین بر اساس نتایج حاصل، محدوده اعتبار تئوری که به عنوان روشی تقریبی برای مطالعه میدان‌های الکترومغناطیسی در گوههای دی‌الکتریک استفاده می‌شده است، برای استفاده در ساختارهای پلاسمونی تعیین شده است. نتایج حاصل نشان دهنده معتبر بودن تئوری Meixner تحت شرایط خاصی از زاویه تابش، تلفات ماده و زاویه گوه است.

همچنین بر اساس رفتار امواج الکترومغناطیسی در ساختارهای تکین، ساختاری به شکل قطره اشک از جنس نقره به عنوان بیوسنسور و نانو رزوناتور ارائه شده است که ضریب کیفیت  $3400$ ، حساسیت حجمی  $1900$  نانومتر بر واحد ضریب شکست و ضریب شایستگی  $1700$  از خصوصیات ساختار پیشنهادی است. ضریب شایستگی بدست آمده در این ساختار، بیش از  $100$  برابر بیشتر از دیگر نانو ساختارهای منفرد پلاسمونی نظیر نانوکره‌ها است.

## فهرست مطالب

۷	۱- پلاسمونیک
۷	۱-۱- پلاسمونیک و کاربردهای آن
۱۳	۲- گوههای دیالکتریک و پلاسمونی
۱۳	۱-۲- مقدمه
۱۵	۲-۲- گوههای فلزی و دیالکتریک
۱۵	۱-۲-۲- روش Meixner
۲۱	۲-۲-۲- روش تقریب نور فیزیکی
۲۳	۳-۲-۲- معادله های انتگرالی تکین (SIE) و فوق تکین (HIE)
۳۴	۴-۲-۲- روش های عددی
۳۴	۳-۲- گوههای پلاسمونی و متامتریالی
۳۸	۴-۲- تعریف مساله
۴۰	۳- رفتار امواج الکترومغناطیسی در گوههای پلاسمونی
۴۰	۱-۳- مقدمه
۴۱	۲-۳- پراکندگی از استوانه دیالکتریک
۴۴	۳-۳- پراکندگی از گوه دیالکتریک به روش HIE
۴۷	۴-۳- رفتار امواج الکترومغناطیسی در گوههای پلاسمونی
۴۱	۳-۴-۱- محاسبه ضریب واگرایی در گوههای پلاسمونی به روش HIE
۵۰	۳-۴-۲- تاثیر تلفات بر رفتار امواج الکترومغناطیسی در گوههای پلاسمونی
۵۱	۳-۴-۳- رفتار میدان های الکتریکی و مغناطیسی نزدیک به نوک گوه

۳-۴-۴- تاثیر زاویه گوه بر رفتار امواج الکترومغناطیسی در گوه های پلاسمونی ..... ۵۴	
۳-۴-۵- تاثیر زاویه تابش بر رفتار امواج الکترومغناطیسی در گوه های پلاسمونی ..... ۵۵	
۳-۴-۶- بررسی دقت روش Meixner در تعیین رفتار میدان های الکترومغناطیسی در گوه های پلاسمونی ..... ۵۶	
۳-۵- ارائه ساختار به شکل قطره اشک پلاسمونی به عنوان تشیدگر و بیوحسگر ..... ۵۹	
۳-۵-۱- خصوصیات تشید ساختار قطره اشک پلاسمونی ..... ۵۹	
۳-۵-۲- خصوصیات تشید ساختار قطره اشکی پلاسمونی ..... ۶۳	
۳-۵-۳- کاربرد ساختار قطره اشک پلاسمونی به عنوان بیوحسگر ..... ۶۶	
۴- نتیجه گیری و پیشنهادات ..... ۷۰	
۴-۱- مقالات منتشر شده ..... ۷۱	
۴-۵- مراجع ..... ۷۴	
۸۰ ..... واژه نامه فارسی به انگلیسی	
۸۱ ..... واژه نامه انگلیسی به فارسی	
۸۲ ..... اختصارات	

## فهرست شکل‌ها

شکل ۱-۲- ساختار گوه دیالکتریکی با شرایط مرزی دیوار الکتریکی و مغناطیسی [87].....	۱۶
شکل ۲-۲- گوه دیالکتریک مورد بررسی توسط MEIXNER [86].....	۱۷
شکل ۳-۲- رفتار میدان‌های الکترومغناطیسی نزدیک نوک گوه فلزی و دیالکتریک. $N$ زاویه گوه است و ضریب گذردهی الکتریکی بیشترین مقدار ممکن فرض شده است [87]. .....	۲۰
شکل ۴-۲- ساختار یک گوه دیالکتریک با زاویه $\theta_i$ که تحت تابش موج با زاویه $\theta_i$ قرار گرفته است [90]. .....	۲۲
شکل ۵-۲- زاویه انتشار و ضریب‌های بارتاب فرنل بعد از بازتاب‌های متوالی درون گوه [90].....	۲۲
شکل ۶-۲- ساختار یک سطح دیالکتریک قرار گرفته بر روی یک نیم صفحه دیالکتریک [99].....	۲۴
شکل ۷-۲- سطح مقطع استوانه در محیط‌های مختلف [100]. .....	۲۴
شکل ۸-۲- سطح مقطع گوه [103].....	۲۵
شکل ۹-۲- سطح مقطع راداری شکل ۸-۲ بدست آمده به روش‌های SIE و HIE [103].....	۳۱
شکل ۱۰-۲- دامنه میدان $E_\phi$ مد TM در روش‌های SIE و HIE [103].....	۳۲
شکل ۱۱-۲- وابستگی دامنه میدان $E_\phi$ به زاویه گوه در مد TM به روش HIE [103].....	۳۲
شکل ۱۲-۲- دامنه شرط مرزی محاسبه شده به روش‌های SIE و HIE [105].....	۳۳
شکل ۱۳-۲- مقایسه مولفه‌های میدان الکتریکی محاسبه شده به روش‌های SIE و HIE [105].....	۳۳
شکل ۱۴-۲- سطح مقطع گوه متاماده‌ای تحریک شده با خط جریان [110].....	۳۵
شکل ۱۵-۲- موجبرهای پلاسمونی W شکل (الف) و ۴ مد مختلف آن (ب) [13].....	۳۶
شکل ۱-۳- مقایسه سطح مقطع راداری استوانه دیالکتریک دایروی به شعاع $a = \lambda$ و مشخصات $\epsilon_r = 8$ و $\mu_r = 2$ بدست آمده به روش‌های معادله‌های انتگرالی تکین SIE و فوق تکین HIE و تحلیلی. طول موج میدان تابشی $\lambda$ ، قطبیش آن TE و TM و زاویه تابش $\phi_{inc} = 180^\circ$ فرض شده است. ....	۴۲
شکل ۲-۳- دامنه تابع مرزی بدست آمده به روش HIE بر روی مرز استوانه دیالکتریک دایروی به شعاع $a = \lambda$ و مشخصات $\epsilon_r = 8$ و $\mu_r = 2$ هوا. طول موج میدان تابشی $\lambda$ ، قطبیش آن TE و TM و زاویه تابش $\phi_{inc} = 180^\circ$ فرض شده است. ....	۴۲

شکل ۳-۳- دامنه میدان های پراکنده شده  $E_z$  و  $H_{\phi}$  از استوانه دی الکتریک دایروی با مشخصات  $a = \lambda$ ،  $\epsilon_r = 4$  و  $\mu_r = 1$ . طول موج میدان تابشی  $\lambda$ ، قطبش آن TE و TM و زاویه تابش  $\phi_{inc} = 180^\circ$  فرض شده است..... ۴۳

شکل ۴-۳- مقایسه سطح مقطع راداری استوانه دی الکتریک دایروی بر حسب اندازه کوچکترین تکه  $\Delta\phi$ . مشخصات استوانه  $a = \lambda$ ،  $\epsilon_r = 4$  و  $\mu_r = 1$  و قطبش تحریک  $TE_z$  ..... ۴۴

شکل ۵-۳- دامنه  $E_z$  پراکنده شده از استوانه دی الکتریک دایروی بر حسب اندازه کوچکترین تکه  $\Delta\phi$ . مشخصات استوانه  $a = \lambda$ ،  $\epsilon_r = 4$  و  $\mu_r = 1$  و قطبش تحریک  $TE_z$  ..... ۴۴

شکل ۶-۳- سطح مقطع گوه دی الکتریک ..... ۴۵

شکل ۷-۳- سطح مقطع راداری گوه دی الکتریک شکل ۶-۳ به ازای میدان تابشی با طول موج  $\lambda$ ، قطبش TM و زاویه تابش  $\phi_{inc} = 60^\circ$ . مشخصات گوه  $\beta = 90^\circ$ ،  $a = \lambda$  و  $\mu_r = 1$  ..... ۴۵

شکل ۸-۳- تغییرات اندازه  $E^{\phi}$  پراکنده شده در راستای محور x ( $\phi = 0^\circ$ ) و محور y ( $\phi = 90^\circ$ ) بر حسب  $\epsilon_r$  در فاصله  $\lambda - 10^{-1}$  از نوک گوه. مشخصات گوه  $\beta = 90^\circ$ ،  $a = \lambda$ ،  $\epsilon_r = 10$  و  $\mu_r = 1$  ..... ۴۶

شکل ۹-۳- تغییرات اندازه  $E^{\phi}$  پراکنده در راستای محور x ( $\phi = 0^\circ$ ) بر حسب  $\beta$  در فاصله  $\lambda - 10^{-1}$  از نوک گوه. مشخصات گوه  $\beta = 90^\circ$ ،  $a = \lambda$ ،  $\epsilon_r = 5$  و  $\mu_r = 1$  ..... ۴۶

شکل ۱۰-۳- سطح مقطع گوه پلاسمونی ..... ۴۷

شکل ۱۱-۳- تغییرات ضریب دی الکتریک نقره و سیلیکا ..... ۴۷

شکل ۱۲-۳- ضریب واگرایی میدان های الکترومغناطیسی در گوه پلاسمونی بر حسب طول موج و زاویه گوه ..... ۵۰

شکل ۱۳-۳- ضریب واگرایی میدان الکتریکی در گوه پلاسمونی تلفدار و بدون تلف ..... ۵۱

شکل ۱۴-۳- دامنه میدان مغناطیسی پراکنده شده در گوه پلاسمونی با زاویه ۶۰ درجه ..... ۵۲

شکل ۱۵-۳- دامنه میدان الکتریکی پراکنده شده در گوه پلاسمونی با زاویه ۶۰ درجه ..... ۵۳

شکل ۱۶-۳- دامنه میدان الکتریکی پراکنده شده در گوه پلاسمونی با زاویه ۶۰ درجه ..... ۵۴

شکل ۱۷-۳- گوه فلزی تلفدار با زاویه های ۳۰، ۶۰ و ۹۰ درجه در طول موج های ۵۰۰ و ۱۰۰۰ نانومتر ..... ۵۵

شکل ۱۸-۳- در طول موج ۱۲۰۰ نانومتر بر حسب زاویه های تابش ..... ۵۶

شکل ۱۹-۳- ضریب واگرایی بدست آمده به روش HIE و MEIXNER ..... ۵۸

شکل ۲۰-۳- ضریب واگرایی گوه پلاسمونی تلفدار و بدون تلف بدست آمده به روش HIE و MEIXNER ..... ۵۸

- شکل ۲۱-۳- سطح مقطع TEARDROP فلزی احاطه شده با دیالکتریک که تحت تابشی موج صفحه‌ای با قطبش TM و زاویه تابش  $\phi_{INC}$  قرار گرفته است. .... ۶۰
- شکل ۲۲-۳- سطح مقطع پراکندگی ساختار قطره اشکی از جنس طلا در خلا (قرمز) و در آب (آبی). سطح مقطع راداری در آب در ضریب ۰/۵ ضرب شده است. .... ۶۱
- شکل ۲۳-۳- سطح مقطع پراکندگی ساختار نزدیکی طول موج‌های تشیدید ساختار ..... ۶۲
- شکل ۲۴-۳- میدان الکتریکی پراکنده شده  $E^{scat}$  و  $E_{y}^{scat}$  نرمالیزه شده به  $E_0$  در اولین مرتبه تشیدید (طول موج ۲۰۳۹/۲ نانومتر) (الف) و (ب) توزیع لگاریتمی و (ج) و (د) توزیع خطی و در دو میان مرتبه تشیدید (طول موج ۱۱۲۶/۶ نانومتر) (ه) و (و) توزیع لگاریتمی و (ز) و (ح) توزیع خطی ..... ۶۴
- شکل ۲۴-۳- سطح مقطع راداری ساختار (میکرومتر) در طول موج‌های تشیدید (الف) ۲۰۳۹/۲ نانومتر، (ب) ۱۱۲۶/۶ نانومتر، (ج) ۷۹۰/۷ نانومتر و (د) ۶۱۷/۴ نانومتر. زاویه تابش ۹۰ درجه است و سطح مقطع راداری در طول موج‌های کناری با فاصله تشیدید  $1 \pm 10$  نانومتر از طول موج‌های تشیدید نشان داده شده است. .... ۶۵
- شکل ۲۵-۳- سطح مقطع راداری مونواستاتیک قطره اشک در آب نزدیکی طول موج‌های تشیدید ..... ۶۷

## فهرست جدول‌ها

جدول ۱-۳ - $FWHM$ و ضریب کیفیت تشدید ساختار	۶۲
جدول ۲-۳ - $FWHM$ , ضریب کیفیت, حساسیت حجمی و $FOM$ در طول موج‌های تشدید قطره اشک پلاسمونی در آب	۶۹

# ۱- پلاسمونیک

## ۱-۱- پلاسمونیک و کاربردهای آن

در سال‌های اخیر پلاسمون‌های سطحی و کاربردهای نوین انها در نانو فن‌آوری حجم زیادی از تحقیقات را به خود اختصاص داده‌اند. در حالی که میکروالکترونیک مدرن از نظر سرعت و روش‌های پردازش اطلاعات به مرز خود رسیده است و ایجاد تحول اساسی در آن نظیر افزایش سرعت و کاهش ابعاد مدارها با فن‌آوری به کار رفته در آنها امکان‌پذیر نیست، پلاسمون‌های سطحی بهترین گزینه ممکن در مجتمع‌سازی مدارها هستند. از جمله خصوصیات مهم ساختارهای پلاسمونی، متمرکز کردن امواج الکترومغناطیسی در ناحیه‌ای بسیار کوچکتر نسبت به طول موج است که حد تفرق نامیده می‌شود و با به کارگیری ساختارهای پلاسمونی امکان کوچک کردن مدارها و پیاده‌سازی قطعات کاملاً نوری فراهم می‌آید. [1]

نانوذرات فلزی نقشی کلیدی را در تحولات فناوری اخیر ایفا کرده‌اند و امکان گذر از حد تفرق و به کارگیری ساختارهای نانومتری در زمینه‌های مختلف را فراهم کرده‌اند. [2][26]- از مهم‌ترین فلزات مورد استفاده در ساخت نانوذرات فلزی می‌توان به طلا و نقره اشاره کرد که خواص نوری این فلزات

خنثی<sup>۱</sup> توسط الکترون‌های باند هدایت<sup>۲</sup> آنها تعیین می‌شود. در واقع تعامل میان نور و نانوذرات فلزی توسط دو خصوصیت تشدید پلاسمون‌های سطحی متمرکز و یا نوسان چگالی بارهای آزاد بر روی سطوح بسته توجیه می‌شوند. [27]

از جمله عوامل محرک در توسعه تحقیقات در نانوساختارهای پلاسمونی می‌توان به سه عامل توسعه روش‌های لیتوگرافی و شیمیایی و امکان ساخت ادوات نانومتری پیچیده، پیشرفت فناوری‌های اندازه‌گیری و ارائه روش‌های تحلیل، مدل سازی و شبیه‌سازی پیشرفت‌های برای شناخت دقیق خصوصیات فیزیکی ساختارهای نانومتری اشاره نمود که در سیر تحولات چند سال اخیر این فناوری نقش قابل توجهی را ایفا کرده‌اند.

پلاسمون‌های سطحی از اوایل سده گذشته برای دانشمندان شناخته شده بود اما در سال‌های اخیر توانایی ساخت ساختارهای در ابعاد نانومتر در فلزات میسر شده است. [۳] در این ساختارها پلاسمون‌های سطحی با نور تحریک می‌شوند و در فصل مشترک فلز و عایق در ابعاد نانومتری، خواص نوری متفاوتی را از خود نشان می‌دهند. [28] این ساختارها خواص نوری متفاوت با مواد موجود در طبیعت نظیر ضریب شکست منفی از خود نشان می‌دهند که در کاربردهای گوناگون نظریه‌های با قدرت تمرکز بالا مورد استفاده قرار گرفته‌اند. [22]

علاوه بر موجبرهای پلاسمون سطحی که قابلیت انتقال انرژی از طریق کوپلینگ پلاسمونهای سطحی و تمرکز نور در زیر حد تفرق را دارا هستند [6][8]-، ساختارهای تناوبی موجبری نیز به عنوان روشی برای تحقق ساختارهایی با ضریب شکست زیاد در ایجاد کوپلینگ پلاسمونهای سطحی مطرح

شده‌اند. [1]-[5]- همچنین پلاسمون‌های سطحی در ساختارهای از جنس ورق‌های نازک فلزی به عنوان موجبر استفاده شده‌اند. [9]-[10]

پلاسمون‌های سطحی متمرکز توانایی پراکندگی، جذب و تمرکز نور در ابعاد نانومتری را دارا هستند و از این پدیده در دستیابی به افزونگی<sup>۱</sup> بالای میدان‌های الکترومغناطیسی در ساختارهای نامتری و میکرومتری استفاده می‌شود. دیگر کاربردهای مرتبط به نانوساختارها می‌توان به تمرکز میدان و پلاسمون‌ها برای کاربردهای پزشکی، افزایش قدرت سیگنال و تفکیک‌پذیری<sup>۲</sup> در میکروسکوپ‌های نوری میدان نزدیک و کنترل انتقال و سوییچینگ سیگنال‌های نوری اشاره کرد.

[25]

نانوذرات و نانوساختارهای فلزی در سال‌های اخیر به دلیل توانایی آنها در تمرکز انرژی در ابعاد زیر طول موج مورد توجه بسیاری قرار گرفته است. برهم‌کنش نور و نانوساختارهای فلزی تحت تاثیر پلاسمون‌های متمرکز سطحی و بارهای سطحی روی سطح ساختار قرار دارد. [27]-[28]- این خصوصیت جالب نانوذرات و نانوساختارهای فلزی در کاربردهای متنوعی نظیر biosensor [29]-[35] و میکرو و نانو تشیدگرها [36]-[45]- مورد استفاده قرار گرفته است که کاربرد آنها بر اساس شکل و ابعاد ساختار و محیط پیرامونی آن تعیین می‌شود. بر همین اساس شکل‌های هندسی متفاوت از استوانه‌ها [46]-[49]-، حلقه‌ها<sup>۳</sup> [42]-[44]-، هسته‌ها<sup>۴</sup> [50]-[52]- و دیسک‌ها<sup>۵</sup> [37]-[38]- تا ساختارهای نوک تیز نظیر مکعب‌ها<sup>۶</sup> [53]-[55]-، ستاره‌ها<sup>۷</sup> [54]- و گوه‌ها<sup>۸</sup> [56]- مورد بررسی قرار

Enhancement<sup>۱</sup>Resolution<sup>۲</sup>Rings<sup>۳</sup>Cores<sup>۴</sup>Disks<sup>۵</sup>Cubes<sup>۶</sup>

گرفته‌اند. در تمامی ساختارهای مورد اشاره فوق، تشیدید پلاسمون‌ها به طور مستقیم توسط توپولوژی و ابعاد ساختار تعییت می‌شود. در حالی که کنترل بر روی خصوصیات تشیدید و تغییرات در خصوصیات پراکندگی ساختارهای پلاسمونی به دلیل تشیدید فانو<sup>۳</sup> می‌تواند در کاربردهای گوناگونی مورد توجه قرار گیرد. [63]-[57] تشیدید فانو نتیجه تداخل سازنده یا مخرب میان یک تشیدید تیز و یک تشیدید پهن و یا مدهای مختلف ساختار است. [64]-[65]- این پدیده موجب می‌شود تا بتوان تشیدیدهای پلاسمونی بسیار تیز را ایجاد نمود و به تشیدیدگرهایی با ضریب کیفیت بسیار بالا دست یافت. [57][62]

در حالی که پلاسمون‌های سطحی برای کاربردهای بسیاری نظیر بیوحسگرها، موجبرها، تمرکز میدان‌های الکترومغناطیسی در ابعاد کوچک و مدارهای نوری مورد توجه قرار گرفته‌اند، اما همچنان نحوه انتشار پلاسمون‌های سطحی در ساختارهای تکین که دارای لیه‌های نوک تیز هستند، یک چالش اساسی به حساب می‌اید. روش‌های تئوری و آزمایشگاهی متنوعی برای تحقق تمرکز میدان‌های الکترومغناطیسی و پلاسمون‌های سطحی در ابعاد کمتر از طول موج ارائه شده‌اند که از این میان ساختارهای تکین که توانایی پشتیبانی از مدهای پلاسمونی سطحی متمرکز<sup>۴</sup> را دارند بیشتر مورد توجه قرار گرفته‌اند. در چند سال اخیر رویکرد تحلیل ساختارهای تکین<sup>۵</sup> به کارگیری روش‌های عددی بوده است. در حالی که با توجه به روش‌های عددی در مدل‌سازی ساختارهای نوک تیز و خصوصیات آنها دارای محدودیت‌هایی نظیر پایداری محاسبات در بررسی میدان‌های الکترومغناطیسی در فواصل نزدیک به نوک هستند و کسب اطلاعات از نحوه انتشار و تمرکز پلاسمون‌های سطحی و توجیه

Stars <sup>۱</sup>Wedges <sup>۲</sup>Fano Resonance <sup>۳</sup>Localized surface plasmon modes <sup>۴</sup>Singular <sup>۵</sup>

پدیده‌های فیزیکی مشاهده شده در آزمایش‌ها به تنها‌ی با استفاده از روش‌های عددی میسر نبوده است و دانشمندان به کارگیری روش‌های تئوری در کنار روش‌های عملی را لازمه توسعه استفاده از ساختارهای تکین در کاربردهای نظیر بیوحسگرها و لنزها دانسته‌اند. برای مثال با استفاده از روش‌های تئوری نشان داده شده است که علت تمرکز میدان در برخی ساختارهای نوک تیز کاهش سرعت پلاسمون‌های انتشاری با نزدیک شدن به نوک تیز است [24] در حالی که کسب چنین اطلاعاتی از ساختار با استفاده از روش‌های عددی امکان‌پذیر نیست.

## ۲- گوهای دی الکتریک و پلاسمونی

### ۱-۲- مقدمه

یکی از پارامترهای مهم در تمرکز پلاسمون‌های سطحی تاثیر لبه‌ها و گوشه‌ها در کوچک‌سازی و مجتمع‌سازی ادوات نوری است [12]. در ساختارهای پلاسمونی نیز همانند ساختارهای دی‌الکتریکی و فلزی، لبه‌ها و گوشه‌های نوک‌تیز تاثیر به سزایی در شکل‌گیری مدها و پراکندگی امواج الکترومغناطیسی دارند. این موضوع در تحلیل مدهای پلاسمون سطحی در موجبرهای مستطیلی فلزی [13][12]، مدهای پلاسمونی در چاههای W شکل [13] موجبرهای مجتمع دی‌الکتریکی و پلاسمونی [14]، بازتاب کننده‌های لایه‌ای پلاسمونی و مجتمع‌سازی ساختارهای نوری [15] بسیار مورد توجه بوده است. ضمن آن که در بسیاری از مقالات منتشر شده، با فرض بی‌نهایت بودن ابعاد ساختارها، عملاً از بررسی تاثیر گوشه‌های نوک‌تیز صرف نظر شده است در حالی که این فرض‌ها در پیاده‌سازی و آزمایشات این گونه‌ها فرض‌ها قابل قبول نبوده و تحلیل تاثیر گوشه‌های نوک‌تیز و لبه‌ها اجتناب ناپذیر است.